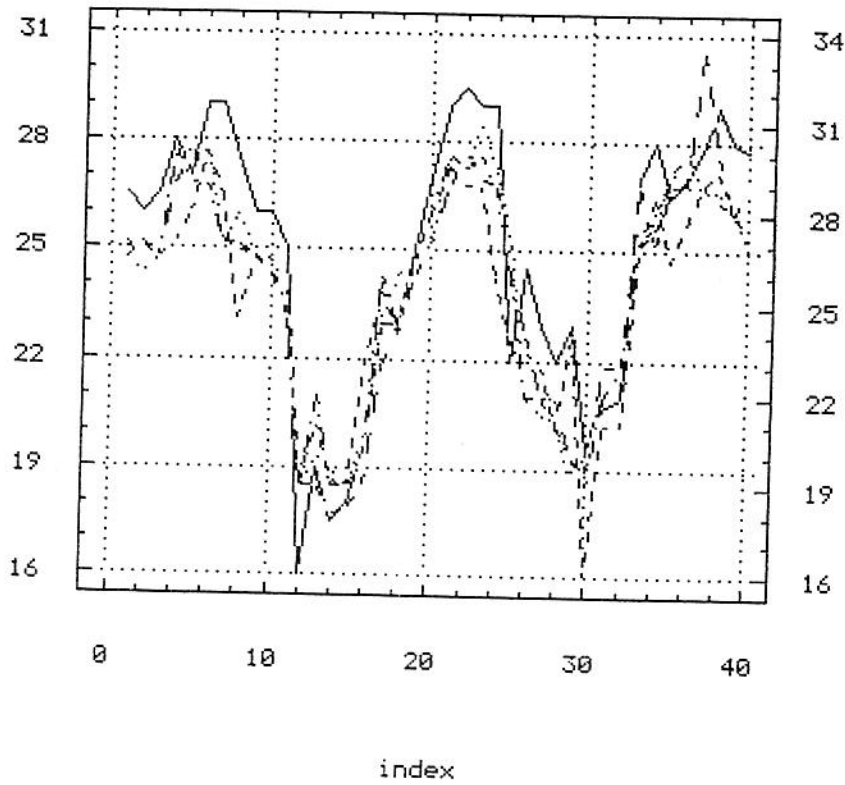


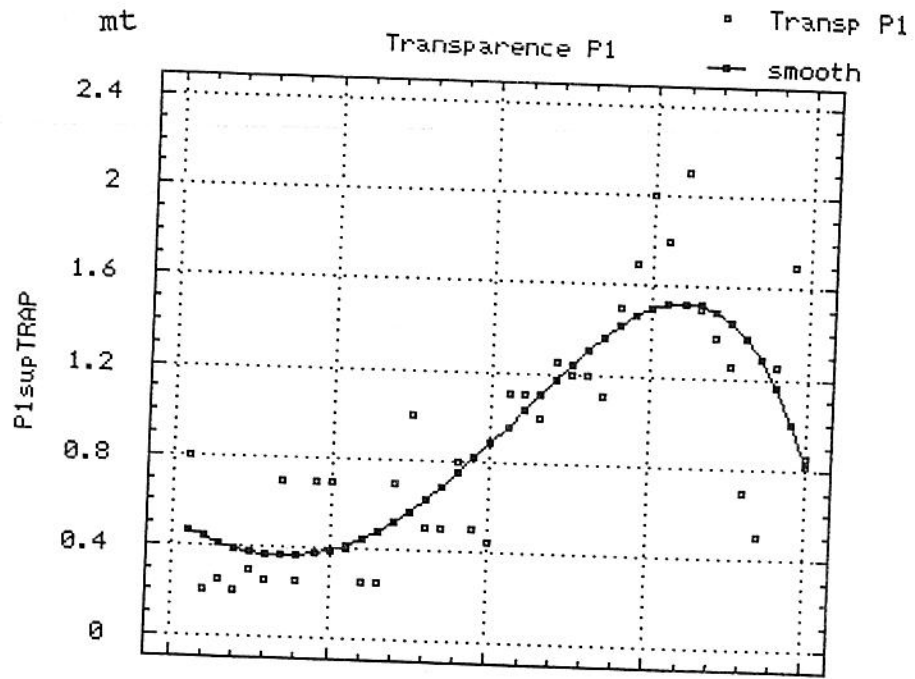
Graphique 6

Temperature

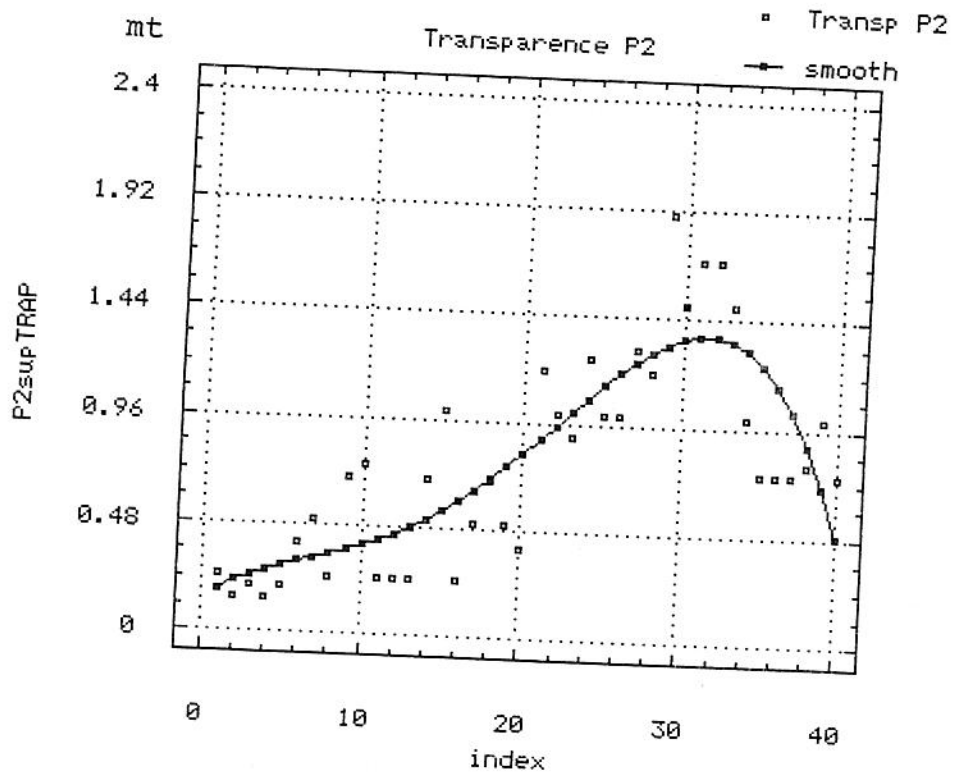
P0 P1 P2 P3 P5



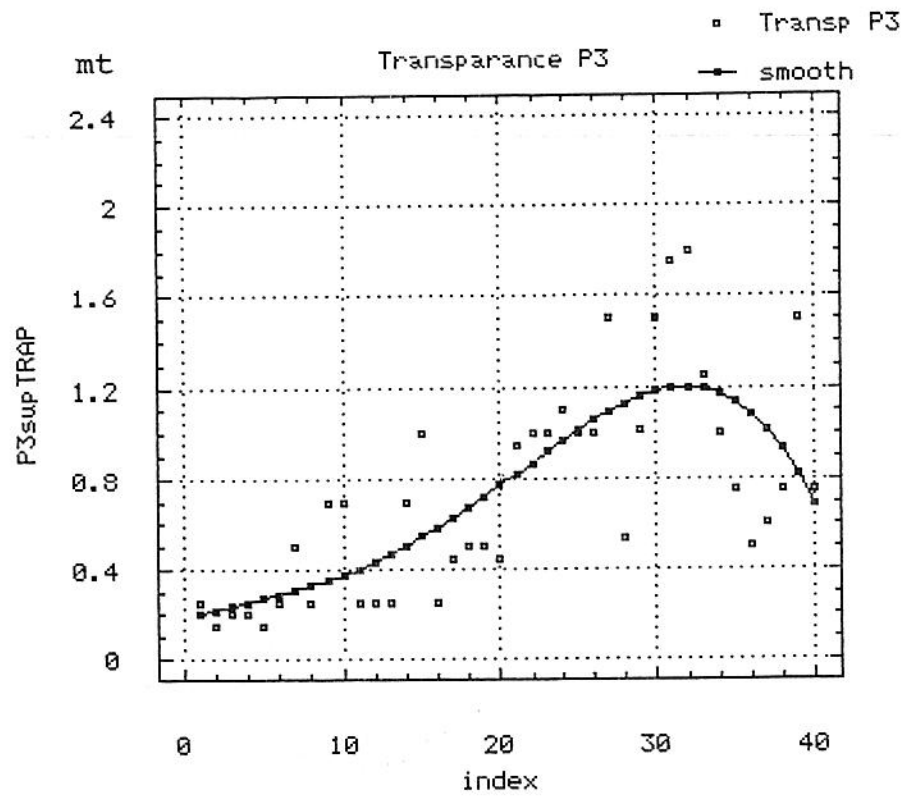
Graphique 8



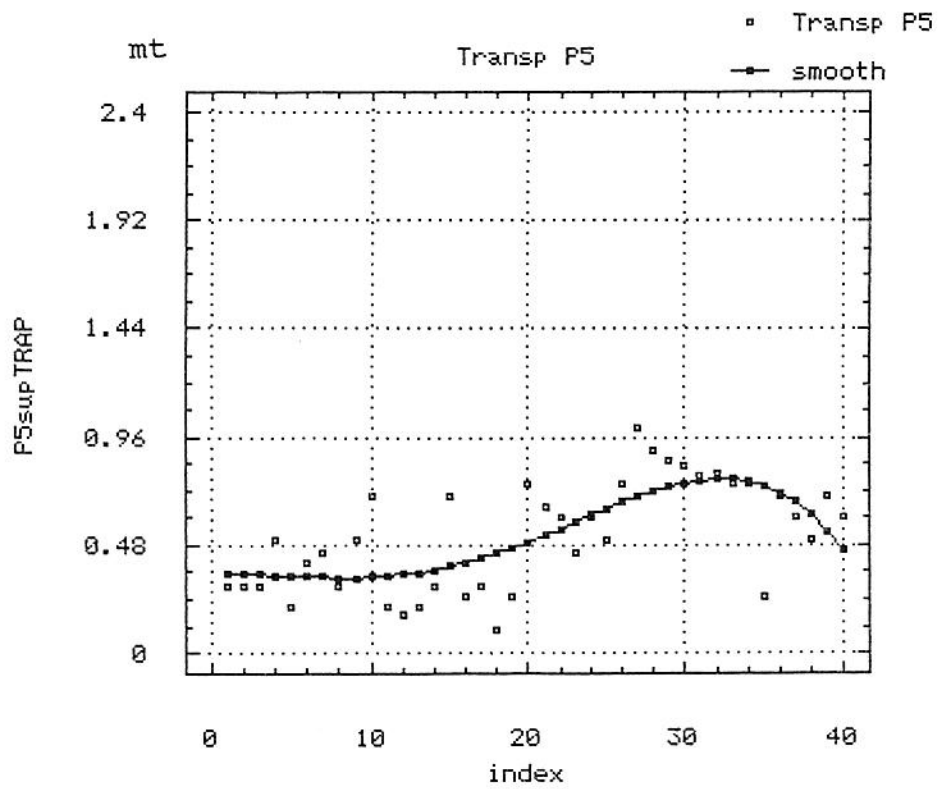
Graphique 9



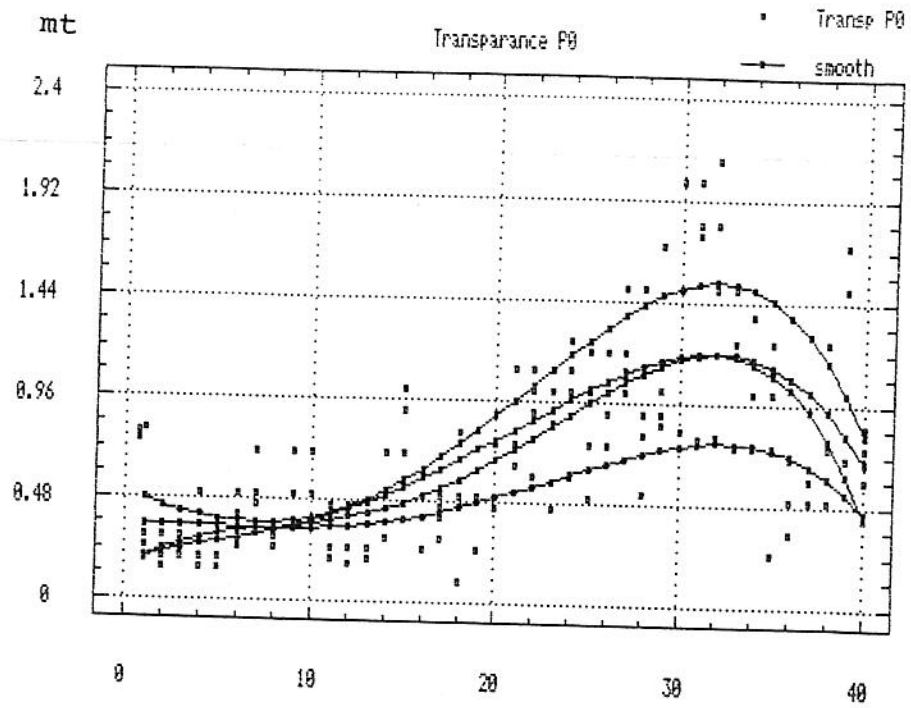
Graphique 10



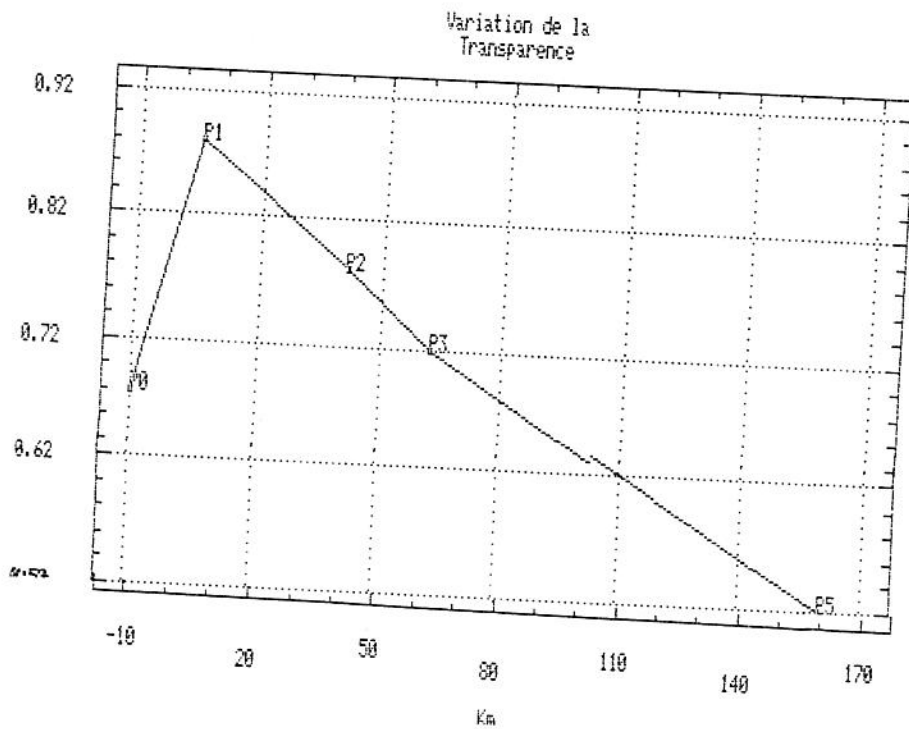
Graphique 11



Graphique 12



Graphique 13



7.3 Oxygène dissous

On observe à tous les points du barrage, (voir graphique 14, 15, 16 et 17), une augmentation de l'oxygène dissous à partir du commencement du remplissage du barrage jusqu'à la moitié de l'année 1984, cet accroissement de l'oxygène dissous étant constant (6, 7, 8).

Un phénomène très important peut être observé sur les graphiques 18 et 19, où la concentration en oxygène est beaucoup plus élevée au le point P0 en comparaison avec les autres points du le barrage, (voir tableau 3). Ceci peut être expliqué par l'aération que reçoivent les eaux à cause du "Saut en Sky" que présente le déversoir vers sa fin.

Tableau 3

	P0	P1	P2	P3	P5
Taille	40	40	40	40	40
Moyenne	11.2	7.2	7.05	7.05	7.5
Médiane	11	7.5	7.2	7.2	7.9
Mode	10.9	8.4	7.2	7.2	8
Moyenne Géom	11	7.1	7	7	7.5
Variance	0.85	1.5	1	1.2	0.9
Ecart type	0.92	1.2	1	1.1	0.95
Erreur Standard	0.14	0.2	0.15	0.17	0.15
Minimun	9.8	4.6	4.95	4.8	5.3
Maximun	13.8	8.9	8.6	8.9	9

Graphique 14

